

密崎大学工学部 正員 太田 俊 昭
 " 正員 中 沢 隆 雄
 " 学生員 大津留 哲 矢
 " 学生員 西 元 洋 一 郎

I. まえがき 先に、著者らは、歪硬化の影響が著しい軟鋼材について、一般な正方形および矩形を有する断面を対象に、その弾塑性捩り挙動を歪増分理論により解析し、発表したが、本研究は、これを円管に適用し、解析したものである。その際、差分法による解法と、せん断流による近似解法の2つを試みた。さらに、これらの解析に必要なデータを求めるため、ならびに解析結果と実際の鋼管の捩り挙動と比較するために、鋼管の捩り実験を行ない、一応の成果を述べたのでここに報告する。

II. 差分法による解法 図-1のように、一様断面の円管が、捩りモーメントTを受ける場合を想定する。図-1の記号を用いれば、せん断歪増分 $\dot{\gamma}$ は、一般にゆがみ函数増分 $\dot{\psi}$ を用いて、次のように表わされる²⁾

$$\left. \begin{aligned} \dot{\gamma}_{\theta z} &= \frac{\partial \psi}{\partial \theta} + \dot{\omega} r = \dot{\omega} r \\ \dot{\gamma}_{rz} &= \frac{\partial \psi}{\partial r} - \dot{\omega} \theta = 0 \end{aligned} \right\} \text{----- (1)}$$

ここに $\dot{\omega}$ は捩り率増分であり、 $\frac{\partial \psi}{\partial \theta} = 0$ である。

また、ロイスの方程式²⁾より

$$\dot{\gamma}_{\theta z} - \frac{1}{G} \dot{\tau}_{\theta z} = 2\lambda \dot{\tau}_{\theta z} \text{----- (2)}$$

ここに、G: せん断弾性係数、 $\dot{\tau}_{\theta z}$, $\dot{\tau}_{rz}$; 円周方向のせん断断力とその増分、 λ : 正の比例係数

式(1), (2)より、 $\dot{\gamma}_{\theta z}$ を消去すれば、 $\dot{\omega} r = 2\lambda \dot{\tau}_{\theta z} + \frac{1}{G} \dot{\tau}_{\theta z}$

ここで、上式に、 $\dot{\tau}_{\theta z} = -\frac{\partial \phi}{\partial r}$ なる応力函数 ϕ を導入すれば、次式がえられる。

$$-G\dot{\omega} r = 2G\lambda \left(\frac{\partial \phi}{\partial r}\right) + \left(\frac{\partial \phi}{\partial r}\right) \text{----- (3)}$$

さて、対象とする断面の肉厚を等間隔でn等分し、格子点番号を図-2のように定めたとす。式(3)を差分表示すれば、次式がえられる。

$$\begin{aligned} & (1 + 2G\alpha_i \lambda_i) \dot{\phi}_i - (1 + 2G\alpha_{i+1} \lambda_{i+1}) \dot{\phi}_{i+1} \\ & = \alpha_i G \dot{\omega} r_i - 2G\alpha_i \lambda_i (\phi_i - \phi_{i+1}), \quad (i=1, 2, \dots, n) \text{----- (4)} \end{aligned}$$

ここに、 $\phi_i - \phi_{i+1} = \dot{\phi}$, ϕ_i : 前の荷重段階の応力函数
 α_i : 弾性域 ≤ 0 , 塑性域 ≥ 1 なるパラメーター

式(4)を行列表示すれば、 $[A][\dot{\phi}] = \alpha G \dot{\omega} [R] + [C]$

ゆえに、 $[\dot{\phi}] = \alpha G \dot{\omega} [A]^{-1} [R] + [A]^{-1} [C] \text{----- (5)}$

一方、捩りモーメント増分 \dot{T} は、膜理論により

$$\begin{aligned} \dot{T} &= 2 \iint \dot{\phi} \, r \, d\theta \\ &= 2\pi \alpha_0^2 \dot{\phi}_1 + \sum \pi (\alpha_{i+1}^2 - \alpha_i^2) (\dot{\phi}_i + \dot{\phi}_{i+1}) \text{----- (6)} \end{aligned}$$

式(6)を行列表示すれば、 $\dot{T} = [D][\dot{\phi}] \text{----- (7)}$

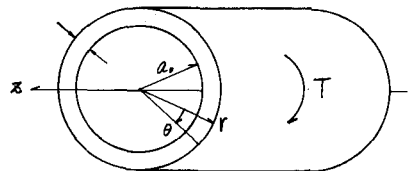


図 - 1

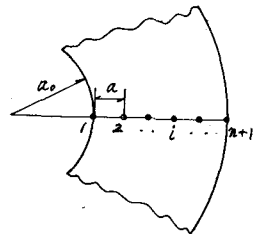


図 - 2

式(5), 式(7)より, [φ]を消去すれば,

$$\dot{\omega} = \frac{\dot{T} - [D][A][T]C}{aG[D][A][T]R} \quad \text{----- (8)}$$

以上により, \dot{T} を与え, その荷重段階における中, $T, \lambda, \dot{\omega}$ などを逐次求めるとすれば, 振りモーメント T に対応する振り率 $\dot{\omega}$ が求められる。

III. せん断流による解法 円管断面の内厚を t , 断面の中心から内厚の中心線までを r とすれば 振りモーメント増分 \dot{T} は,

$$\dot{T} = \int \dot{\tau} t r d\theta = 2\pi r^2 \dot{\tau} t \quad \text{----- (9)}$$

また, ロイスの方程式より

$$\dot{\tau} = \frac{1}{G} \dot{T} + 2T\lambda \quad \text{----- (10)}$$

ただし, $\lambda = \frac{3}{2} \frac{1}{H} \frac{\dot{\tau}}{\tau}$, H : 硬化率

式(9)の第1式を式(10)に代入して, 変形すれば,

$$\dot{T} = rG\dot{\omega} - 2GT\lambda \quad \text{----- (11)}$$

式(9), 式(11)より, \dot{T} を消去すれば, 弾性域および塑性域における振り率増分 $\dot{\omega}$ は

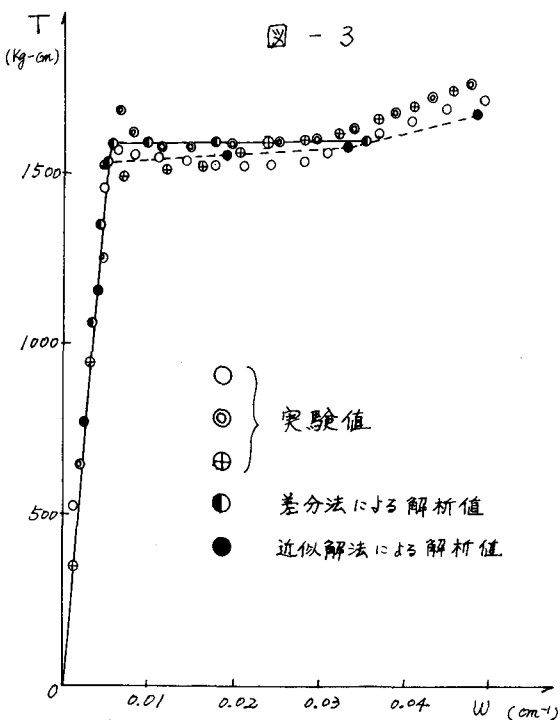
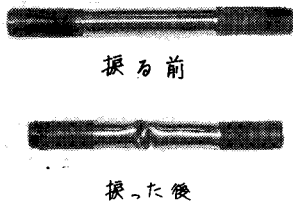
$$\dot{\omega} = \frac{\dot{T}}{2\pi r^2 t G} + 2 \frac{T}{r} \lambda \quad \text{----- (12)}$$

ここに, 弾性域では, $\lambda = 0$, 塑性域では, $\lambda = \frac{3}{2} \frac{1}{H} \frac{\dot{\tau}}{\tau}$ とする。

IV. 鋼管の振り実験 SMT型振り試験

機を使用し, JIS規格 (G-3452) の配管用炭素鋼管の振り試験を試みた。試験体 (写真) は, 外径 20mm, 内径 16mm, 厚さ 2mm, 長さ 100mm の寸法に製作した。なお, 実験に際しては, 試験機に固定させる試験体の両端部分が, 圧壊しないよう, あらかじめ, 両端部分の内側にアルミニウム棒を充填した。本実験によるえられた結果の一部を, 図-3に付記する。

V. 結語 本研究では, 内管の内厚の影響を考慮した解法と, これを無視した近似解法とを提示した。著者らが, 行った鋼管の振り実験によれば, 内厚/外径 = 1/10 の比較的厚肉の鋼管の場合でも, 近似解法で十分な精度がえられることが, 判明した。



<参考文献>

- 1) 太田俊昭, 「一様断面棒の弾塑性ねじり解析」土木学会論文報告集, 第201号・1972年5月
- 2) 山田嘉昭, 「塑性力学」, 日刊工業新聞社